

05.2; 06.2

© 1991

ЭЛЕКТРОННАЯ СТРУКТУРА И СВОЙСТВА СОБСТВЕННЫХ МЕЖДОУЗЕЛЬНЫХ АТОМОВ В КРЕМНИИ

Х.А. А б д у л л и н, Б.Н. М у кашев,
М.Ф. Т а м е н д а р о в, Т.Б. Т а ш е н о в

Изучены свойства собственных дефектов междоузельного типа в кремнии. Предложена модель центра Si_i , естественно объясняющая наблюдающиеся свойства.

Собственные междоузельные атомы являются первичными радиационными дефектами, поэтому сведения об их электронной структуре и свойствах представляют большой интерес. Однако, несмотря на многочисленные исследования радиационных дефектов в кремнии, собственные междоузельные атомы практически не изучены. Имеются лишь косвенные данные [1], показывающие, что центры Si_i подвижны в условиях электронного облучения даже при гелиевых температурах. В данной работе представлены результаты, относящиеся к свойствам собственных междоузельных атомов, и предложена модель электронной структуры центров.

При изучении методом нестационарной емкостной спектроскопии глубоких уровней (НЕСГУ) облученного α -частицами кремния p-типа проводимости был обнаружен новый центр $E2=E_C-(0.39 \pm 0.02)$ эВ, не наблюдающийся в образцах n-типа. Исследования выявили ряд нетривиальных эффектов, связанных с центром E2.

1. В спектрах НЕСГУ при оптическом возбуждении (рис. 1, а) обнаруживается помимо центра E2 уровень $E1=E_C-(0.25 \pm 0.05)$ эВ. Оба центра одновременно отжигаются при инжекции неосновных носителей и могут соответствовать различным зарядовым состояниям одного и того же дефекта.

2. Центр E2 подвержен интенсивному инжекционному отжигу с образованием междоузельных атомов углерода C_i , а в образцах, легированных алюминием, отжиг идет и с образованием центров Al_i , как показано на рис. 2, б (спектры записывались без инжекции неосновных носителей, поэтому полоса E2 не регистрировалась). Заметим, что концентрация примеси Al в образце была примерно в 20 раз меньше концентрации углерода, а амплитуда полосы Al_i — в пять раз больше амплитуды полосы C_i . Поэтому сечение взаимодействия дефекта E2 с узловыми атомами Al_s должно быть примерно в сто раз больше, чем с атомами C_s .

3. Скорость инжекционного отжига центра E2 не зависит, либо очень слабо зависит от температуры в интервале 77–300 К.

4. Центр E2 нельзя связать с какой-либо примесью, поскольку он наблюдается в широком наборе образцов, легированных B, Al, Ga, выращенных зонной плавкой и методом Чохральского.

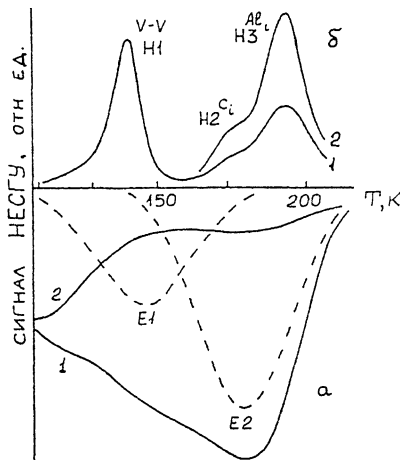


Рис. 1. а) Спектры НЕСГУ в $p\text{-Si}$, облученном α -частицами с энергией ~ 4.7 МэВ, записанные при оптическом возбуждении:
1 – сразу после облучения при температуре ~ 0 °С, 2 – после инжекционного отжига, пунктир – разность кривых 1 и 2. б) Спектры НЕСГУ в образце $p\text{-Si : Al}$: 1 – сразу после облучения, 2 – после инжекционного отжига.

5. Уровень E_2 подвержен интенсивному оптическому отжигу при засветке образца светом из собственной области спектра (рис. 2). Оптического отжига не происходит при освещении через германиевый фильтр либо при приложении к образцу обратного смещения. Скорость отжига, измеренная при температурах 85 и 175 К, была одинаковой, что говорит в пользу безактивационного процесса.

6. В процессе низкотемпературного оптического отжига центра E_2 наблюдается появление уровня вакансии $H_4 = E_V + 0.13$ эВ (рис. 2), при этом концентрация дивакансий падает.

7. При нулевом напряжении на образце центры E_2 не вводятся при температуре облучения > 350 К, а с приложенным обратным смещением – выше 250 К. Дефекты E_2 термически стабильны до ~ 350 К.

Для объяснения совокупности экспериментальных данных предлагается модель центра собственного междоузельного атома, имеющего три различных зарядовых состояния: $Si_i^{++} (3s^2)$, $Si_i^+ (3s^2 3p)$ и $Si_i^0 (3s^2 3p^2)$, которым соответствуют уровни $E_2 = Si_i^{(+/-)}$ и $E_1 = Si_i^0 (0/+)$.

Для объяснения эффекта интенсивного безактивационного инжекционного и оптического отжига необходимо, чтобы состояние Si_i^{++} было седловой точкой для состояния Si_i^+ , и наоборот [2]. В этом случае при инжекции либо освещении образца собственным светом генерируются неосновные носители и происходит захват электронов

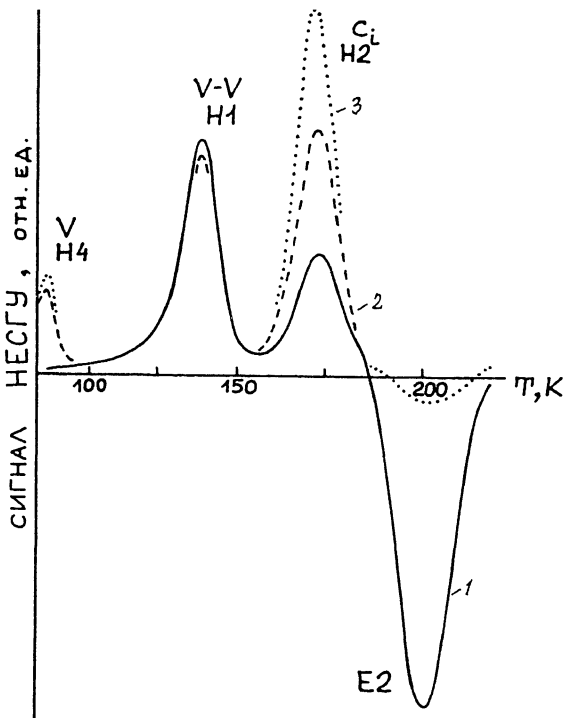


Рис. 2. Спектры НЕСГУ образца р- Si , облученного α -частицами, записанные при малом уровне инжекции. 1 – сразу после облучения, 2 – оптический отжиг при 175 К в течении 5 с, поток $\sim 10^{18}$ фотон/ $\text{см}^2\cdot\text{s}$, 3 – отжиг 20 с в тех же условиях.

на дважды положительно заряженный центр Si_i^{++} , что переводит центр в нестабильное в образце р-типа состояние Si_i^+ с последующей релаксацией. В процессе такой циклической перезарядки идет миграция атомов Si_i к центрам захвата: дивакансиям и примесным атомам. Поскольку центр заряжен положительно, он будет слабо взаимодействовать с дивакансиями (большая часть которых находится в положительно заряженном состоянии) с образованием изолированной вакансии, более интенсивно с нейтральными центрами (атомы Cs^0) и наиболее интенсивно с отрицательно заряженными центрами (атомы Al_S^-). Приложение к образцу обратного смещения во время оптического отжига приводит к резкому уменьшению концентрации неравновесных носителей в области объемного заряда, поэтому в этих условиях центр Е2 не отжигается. Получает свое объяснение и температурная зависимость скорости введения центров Е2 при α -облучении. В условиях приложенного обратного смещения и облучения α -частицами значительная часть уровней Е2 заполнена электронами. Тепловая генерация с уровня $E_2 = E_c - 0.39$ эВ

в зону проводимости начинается при ~ 200 К. Это вызывает процесс перезарядки уровня и миграцию атомов Si_i . Без приложенного к образцу смещения для перезарядки центра E2 требуется энергия, примерно равная $E_g - E_2 \sim 0.6$ эВ, чему соответствует температура 300–350 К. Поэтому при таких температурах центр отжигается термически и не вводится при облучении. Центр E2 не вводится также при облучении протонами и электронами, поскольку в этом случае на один дефект смещения создается значительно большее число электронно-дырочных пар, вызывающих интенсивную перезарядку и отжиг центра E2 даже при низких температурах облучения. Таким образом, модель позволяет объяснить все имеющиеся экспериментальные данные.

С п и с о к л и т е р а т у р ы

- [1] Watkins G.D. In: Radiation Damage in Semiconductors. Dunod. Paris. 1964. P. 97–113.
- [2] Корбетт Дж., Бургун Ж. В кн.: Точечные дефекты в твердых телах. М.: Мир, 1979. С. 9–162.

Поступило в Редакцию
15 июля 1991 г.